

بيان همزمان ترکيب چاپرون هاي GroEL / GroES و GroEL / GroES / Dnak / Dnaj / GrpE با فاكتور رشد فيبرو بلاستي بازي انساني در باكتري اشرشياكلی به منظور کاهش پروتئين هاي نامحلول نو ترکيب

فرزانه مشتاقی نهي^۱، حسن ميرزا حسيني^۲، مونا على بلندی^۳

۱. دانشجوی کارشناسی ارشد زیست سلولی و مولکولی، گروه زیست شناسی، دانشکده علوم پایه، دانشگاه آزاد اسلامی، واحد علوم و تحقیقات تهران
۲. استادیار بیوتکنولوژی، بخش بیوتکنولوژی، انتستیتو پاستور ایران
۳. کارشناس ارشد میکروبیولوژی، بخش بیوتکنولوژی انتستیتو پاستور ایران

مکان انجام تحقیق: تهران، انتستیتو پاستور ایران، ساختمان بیوتکنولوژی پزشکی
مسئول مکاتبات: فرزانه مشتاقی نهی، ایران، تهران، خیابان نامجو، ده متري سلمان فارسي، نبش کوچه ملي، پلاک ۲۴۷، واحد ۸، کد پستی: ۱۶۱۶۱۷۳۴۴۱ تلفن منزل: ۰۲۱۷۷۵۸۰۶۸۱، تلفن همراه: ۰۹۱۲۷۱۹۰۵۳۸، پست الکترونيکی: Moshtaghfar@yahoo.com

تاریخ پذيرش: ۱۳۸۸/۱۰/۲۲

تاریخ دریافت: ۱۳۸۸/۷/۱۹

چكیده

روش هاي مختلفي برای توقف يا کاهش تشکيل تجمع هاي سيتوبلاسمی که طی توليد پروتئين هاي نو ترکيب ايجاد می شوند پیشنهاد شده است. يکی از آنها بيان همزمان چاپرون هاي ملکولي با اين پروتئين ها می باشد. اين چاپرون هاي ملکولي، باعث فولدينج مناسب پروتئين هاي تازه سنتز شده می شوند و از تجمع آنها جلوگيري می کنند. در طرح حاضر، برای کاهش ميزان پروتئين هاي نامحلول فاكتور رشد فيبرو بلاستي بازي انساني hbFGF از بيان همزمان تعدادي از چاپرون ها استفاده شد. جهت بررسی ميزان تأثير هر کدام از چاپرون ها در کاهش ميزان پروتئين هاي هدف نامحلول و مقايسه آنها با يكديگر، از دو پلاسميد pG-KJE8 و pGro7 داراي ترکيب چاپرون - هاي GroEL / GroES / Dnak / Dnaj / GrpE و pلاسميد GroEL / GroES / Dnak / Dnaj / GrpE با ترکيب چاپرون هاي GroES استفاده شد. پس از بيان همزمان اين چاپرون ها باپروتئين hbFGF ميزان پروتئين نو ترکيب محلول توليد شده با استفاده از تکنيكهای SDS-PAGE، وسترن بلاتينگ و الايزا اندازه گيري شد. نتایج بدست آمدۀ نشان داد که بيان همزمان ترکيب چاپرون هاي GroEL/ GroES / Dnak / Dnaj / GrpE بيشتر از چاپرون هاي GroES به تنهائي می تواند باعث کاهش پروتئين هاي هدف نامحلول شود. انتخاب ترکيب چاپرونی مناسب می تواند نقش مهمی را در افزایش پايداري و يا فولدينج صحيح پروتئين هاي نو ترکيب ايفاء کند. خانواده Dnak نقش مهمی را در فولدينج پروتئين هدف و افزایش فرم محلول آن دارد، در حالیکه چاپرون هاي GroELS با افزایش پايداري rhbFGF باعث افزایش تجمع آن و بالطبع افزایش ميزان كل hbFGF تولید شده می گردد.

واژه های کلیدی: hbFGF، چاپرون هاي ملکولي، فولدينج

بيماری ها مثل آزالزیمر و پارکینسون به دست آمده است (۱و۲). اگر چه اين عامل رشد ابتدا از هيپوفيز گاو به دست آمد، لیکن توليد آن به وسیله بسياري از انواع سلول ها و بافت های گاو مثل مغز، هيپو تalamوس، کلیه، تیموس و غده آدرنال به اثبات رسیده و از اين بافت ها تخلص شده است (۳).

مقدمه

استفاده از bFGF انساني hbFGF به عنوان يک عامل درمانی در بهبود بيماري Ischemic Cardiovascular بسيار اميدوار كننده بوده است. به علاوه پیشرفت های زيادي در مورد نقش اين عامل رشد در ترميم بافت ها و بهبود گروهي دیگر از

جلوگیری از تجمع آنها در شرایط نرمال و استرسیحت فشار است (۸).

سیستم‌های چاپرونی hsp70 و hsp60 می‌توانند با باز کردن پروتئین‌هایی که فولد اشتباه دارند، از طریق یک مسیر واپسیه به ATP، وارد عمل شوند (۹). trigger factor TF، سیستم‌های چاپرونی GroEL و Dnak، چاپرون‌هایی هستند که در فولدینگ پروتئین‌ها نقش دارند (۱).

در مقاله حاضر، اثر دو ترکیب مختلف از چاپرون‌ها را در افزایش میزان پروتئین hbFGF محلول، مورد بررسی و مقایسه قرار دادیم. بدین منظور، دو پلاسمید چاپرونی pG-KJE8 و pGro7 دارای GroEL / GroES / Dnak / چاپرون‌های / GroEL و چاپرون‌های / Dnaj / GrpE GroES را به طور جداگانه به داخل سلول انتقال داده، سپس پلاسمید OrigamiBDE3 pET-1008 را به داخل سلول‌های حامل پلاسمید چاپرونی انتقال دادیم. پس از القا و بیان همزمان پروتئین‌های hbFGF با چاپرون‌های ملکولی، بررسی‌ها توسط SDS-PAGE، و سترن بلاستینگ و الیزا انجام شد.

مواد و روش‌ها

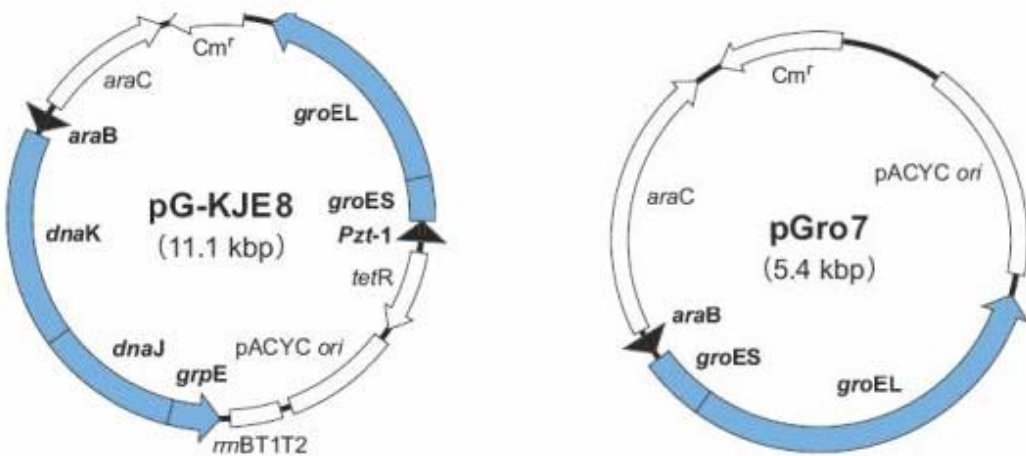
تهیه سلول‌های مستعد competent cell و انتقال پلاسمیدهای pG-KJE8 و pGro7 به

داخل سلول‌های OrigamiB DE3

ساختار پلاسمیدهای چاپرونی pG-KJE8 و pGro7 که از کمپانی TAKARA ژاپن خریداری شدند در تصویر ۱ قابل مشاهده است. جهت تهیه سلول‌های مستعد OrigamiB DE3 ابتدا آن‌ها را با قرار دادن در مجاورت کلرید کلسیم و شوک حرارتی برای پذیرش پلاسمیدها آماده کردیم (۱۰، ۱۱). پس از انتقال پلاسمیدها، محصول را روی پلیت آگار حاوی کلرامفینیکل کشت دادیم تا به علت وجود زن مقاومت به کلرامفینیکل در این پلاسمیدها فقط کلنی‌های واجد پلاسمید چاپرونی بر روی آن رشد نمایند.

به دلیل امکان تهیه مقادیر بسیار ناچیز فاکتور رشد فیبروبلاستی بازی انسانی hbFGF با منشاء طبیعی و با توجه به کاربرد این فاکتور در تحقیقات بالینی، علوم پایه و صنایع دارویی، پژوهش‌های متعددی در زمینه تولید این فاکتور به صورت نوترکیب صورت گرفته است (۴). در طی تولید hbFGF نوترکیب در باکتری E.coli، مقادیر زیادی از این پروتئین به صورت نامحلول انکلوژن بادی تولید گردید (۵). انکلوژن بادی‌ها تجمع‌های پروتئینی هستند، که اغلب طی تشکیل پروتئین‌های نوترکیب ایجاد می‌شوند. به طورکلی، همیشه مشکلات احتمالی زیادی در تلاش برای بیان ژن‌های هتروولوگوس در E.coli و میزان‌های دیگر وجود داشته است. معمول‌ترین مشکلی که در این فرایند با آن رو به رو می‌شویم، تشکیل انکلوژن بادی‌هاست. افزایش محصول یک پروتئین نو ترکیب و دستیابی به ساختار صحیح و همچنین کاهش میزان رسوب پروتئین هدف در سلول در طی تولید، همیشه ذهن محققین را به خود معطوف ساخته است. بدین منظور طی سال‌های اخیر و با پیشرفت روش‌های مهندسی ژنتیک، شیوه‌های متعددی برای افزایش میزان حلalیت ابداع شده است که از آن جمله می‌توان تغییر سرعت سنتز پروتئین‌ها، استفاده از پروتئین‌های فیوژن، موتاسیون در پروتئین هدف، شرایط مساعد کشت و بیان همزمان چاپرون‌های ملکولی را نام برد (۶).

فولدینگ ابتدایی پروتئین‌ها و تجمع کمپلکس‌های پروتئینی، نیاز به مشارکت ملکول‌های چاپرون دارد. این ملکول‌ها با اتصال به قسمت‌های آب گریز بر روی پروتئین هدف، از تجمع آن‌ها به شکل نامحلول و غیرفعال انکلوژن بادی جلوگیری کرده و به پروتئین‌ها کمک می‌کنند که شکل طبیعی پایدارشان را به دست آورند (۷). چاپرون‌های ملکولی، تشکیل خانواده بسیار بزرگ و متنوعی را داده‌اند که براساس اندازه ملکولی طبقه بندی می‌شوند. عمل مشترک اکثر آن‌ها نگهداری پلی Intermediate-Non-native-پپتیدهای برای شکل‌پذیری مناسب و درحالی مستعد



تصویر ۱- ساختار پلاسمیدهای pG-KJE8 و pGro7

القا و بيان همزمان hbFGF و hsp‌ها در *E.coli*

باکتری‌های حاوی پلاسمید چاپرونی و pET-1008 در ۵ ml LB محیط کشت مایع واجد آمپیسیلین و کلرامفنیکل جهت غربال سلول‌های حاوی هر دو پلاسمید مذکور و Arabinose و تتراسایکلین جهت القای بیان مولکول‌های چاپرون در دمای ۳۷°C کشت داده شدند. زمانی که OD₆₀₀ به حدود ۰/۵ رسید، IPTG را برای ابراز hbFGF اضافه نمودیم. ۵ ساعت بعد از عمل القا، انکوباسیون متوقف و سلول‌ها به وسیله سانتریفیوژ ۱ دقیقه، ۶۰۰۰×rpm جمع آوری شدند.

استخراج پروتئین سلول
۲۰۰ میکرولیتر محلول بافر لیز کننده شام ۵۰ بافر فسفات با pH 7.2 Mm ۰.۱ Mm فنیل متیل سولفونیل فلوراید PMSF، ۰.۵ mM EDTA، ۱ mM MgCl₂ و lysosome آپاچه ۲۵۰ µg/ml را به هر کدام از رسوب‌های سلولی اضافه کرده و نیم ساعت در یخ قرار دادیم و سپس عمل سونیکاکسیون، برای شکستن دیواره باکتری و آزاد کردن پروتئین‌ها، به مدت ۳۰ ثانیه با فوائل زمانی ۱ دقیقه برای تمام نمونه‌ها اعمال شد.

هضم آنزیمی پلاسمیدهای pG-KJE8 و pGro7

جهت اثبات انتقال، ابتدا پلاسمیدها با استفاده از کیت، تخلیص شدند. سپس هضم آنزیمی پلاسمید pG-KJE8 توسط آنزیم NdeI و هضم آنزیم Bgl II توسط آنزیم pGro7 انجام شد. نقشه ژنتیکی این پلاسمیدها در دسترس نیست و سایت برش دو آنزیم مذکور بعد از مکاتبه با شرکت TAKARA توسط این شرکت معرفی شد. محصول هضم آنزیمی به همراه DNA ladder شرکت فرمنتاز روی ژل آگارز ادرصد لود شدند و بعد از اتمام الکتروفورز، محل هر باند pET-1008 پلاسمیدی با اندازه‌های متفاوت با قرار دادن ژل بر روی دستگاه ترانس لومیناتور که نور فرابنفش UV را به ژل می‌تاباند، مشخص گردید.

تهییه سلول‌های مستعد و انتقال پلاسمید OrigamiB به داخل سلول‌های pET-1008

حاوی پلاسمیدهای چاپرونی DE3

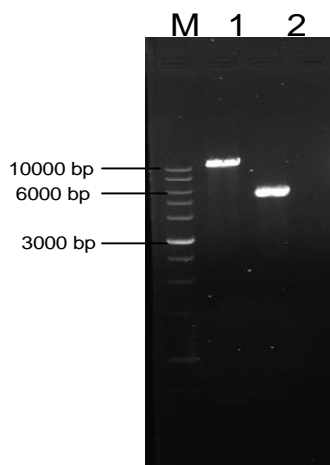
سلول‌های مستعد، تهییه و ترانسفورمیشن پلاسمید pET-1008 انجام شد محصول را روی پلیت آگار حاوی کلرامفنیکل و آمپیسیلین کشت دادیم تا فقط کلنی‌های واجد پلاسمید چاپرونی و pET-1008 روی آن رشد نمایند.

آنتیزن و نیز غلظت آن است، توسط یک دستگاه اسپکتروفوتومتر، تعیین و ثبت می‌شود (۱۲).

نتایج

تأیید انتقال پلاسمیدهای pG-KJE8 و OrigamiB به داخل سلول‌های pGro7 DE3

با استفاده از آنزیم‌های *Nde* I و *Bgl* II، هضم آنزیمی پلاسمیدهای pGro7 و pG-KJE8 و انجام قطعات پلاسمیدی pGro7 با اندازه ۵۴۰۰ bp و pG-KJE8 با اندازه ۱۱۱۰۰ bp بر روی ژل مشاهده شد (تصویر ۲).



تصویر ۲- ستون ۱: پلاسمید pG-KJE8 که با آنزیم *Nde*I برش خورده است؛ ستون ۲: پلاسمید pGro7 که با آنزیم *Bgl* II برش خورده است. M: DNA ladder

نتایج به دست آمده از الکتروفورز یک بعدی پروتئین‌های بیان شده SDS-PAGE

پلاسمید pG-KJE8، چاپرون‌های GroEL / GroES / Dnak / Dnaj / GrpE کنترل پرموتور Ptz1 و پرموتور araB بیان می‌کند. از این پلاسمید به منظور بررسی تاثیر بیان همزمان این ترکیب چاپرونی با فاکتور رشد فیبروبلاستی استفاده شد. همان گونه که در تصویر ۳ مشاهده می‌شود، تولید پروتئین‌های hbFGF محلول در سلول‌هایی که دارای هر دو پلاسمید pET-1008 و pG-KJE8 هستند، نسبت به

محصولی که بعد از سونیکاسیون به دست می‌آید کل پروتئین است که مخلوطی از پروتئین‌های محلول و نا محلول در سیتوپلاسم است. برای جدا کردن پروتئین‌های محلول از پروتئین‌های نا محلول، از سانتریفیوژ با دور $13000 \times rpm$ به مدت ۵ دقیقه استفاده شد. جهت بررسی تاثیر بیان همزمان دو ترکیب مختلف از ملکول‌های چاپرون بروی میزان SDS-حلالیت پروتئین هدف از روش .hbFGF PAGE، وسترن بلاستینگ آنزیم‌های اختصاصی شرکت Sigma و ELISA ساخت شرکت R&D hbFGF استفاده شد.

وسترن بلاستینگ

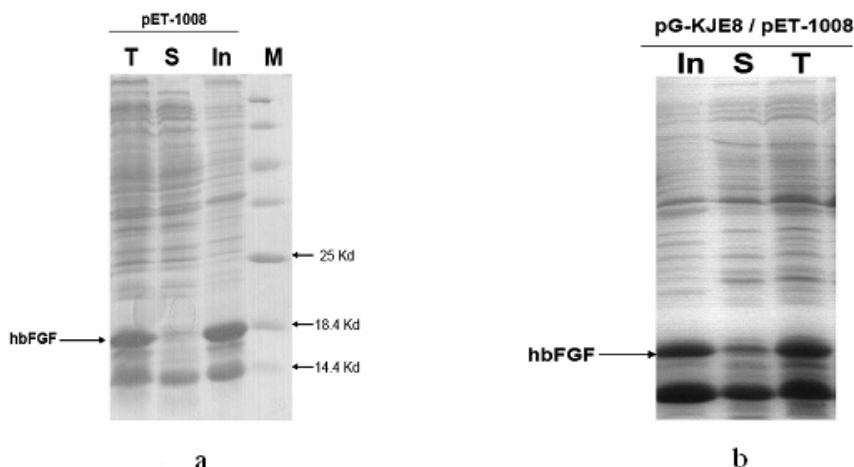
روش وسترن بلاستینگ یکی از روش‌های بسیار دقیق و کارآمد امروزی، با حساسیت و اختصاصیت بسیار بالاست. با استفاده از این روش می‌توانیم پروتئین خاصی را در میان مجموعه ای از پروتئین‌ها تشخیص داده و همزمان وزن مولکولی آن را به دست آوریم. پروتئین‌هایی که در داخل ژل SDS به لحاظ اندازه از یکدیگر جدا شده بودند، با استفاده از ولتاژ الکتریکی بر روی کاغذ نیترو سلولز انتقال می‌یابند. وسترن بلاستینگ برای انتقال پروتئین‌های تفکیک شده بر روی ژل الکتروفورز به غشا استفاده می‌شود. پس از انتقال پروتئین‌ها به غشا، از آنتی بادی‌ها برای مشخص کردن آن‌ها استفاده می‌شود (۱۲).

الایزا

پایه اساسی آزمون الایزا بر اساس واکنش آنتی بادی با آنتیزن است. در آزمون‌های الایزا، یک آنتی بادی اختصاصی با یک آنتیزن مشخص، واکنش می‌دهد و سپس با استفاده از یک آنتی بادی اتصال یافته با یک آنزیم به عنوان سیستم نشانگر، آزمون ادامه می‌یابد و در نهایت، با افزودن سوبسترای آنزیم و تبدیل سوبسترای به محصول که یک ماده رنگی است آزمون الایزا به پایان می‌رسد. طول موج رنگ به دست آمده که نشانگر حضور یک آنتی بادی و یا

مي باشند، بالاتر است.

سلول هايی که فقط پلاسميد pET-1008 را دارند

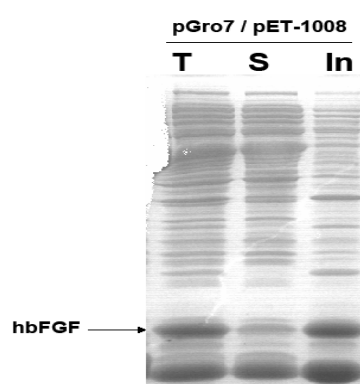


تصویر ۳- الکتروفورز یک بعدی ۱۸٪ SDS-PAGE a: سلول Origami BDE3 حاوی پلاسمید pET-1008 b: سلول OrigamiBDE3 حاوی پلاسمیدهای pG-KJE8 و pET-1008 In: پروتئین های نامحلول عصاره سلولی؛ S: پروتئین های محلول عصاره سلولی؛ T: کل پروتئین های عصاره سلولی؛ M: مارکر وزن ملکولی.

پروتئین های محلول عصاره سلولی؛ T: کل پروتئین های عصاره سلولی؛ M: مارکر وزن ملکولی.

نتایج به دست آمده از وسترن بلا Tin
به منظور بررسی بیان پروتئین نوترکیب، از روش حساس و اختصاصی وسترن بلا Tin اگ استفاده شد. در این روش، حتی مقادیر جزئی از پروتئین هدف، قابل شناسایی است. این روش، ردیابی تنها باند پروتئینی مربوط به hbFGF را امکان پذیر می سازد. جهت تأیید بیان پروتئین های هدف توسط هردو نوع سلول حامل پلاسمیدهای pG-KJE8 و pGro7، بعد از کشت و القا، کل پروتئین ها را جدا کرده و پس از انجام SDS-PAGE نمونه ها، بر اساس متod Towbin ۱۳، پروتئین هایی که در داخل ژل SDS-PAGE بر حسب اندازه از یکدیگر جدا شده بودند، با استفاده از ولتاژ الکتریکی بر روی کاغذ نیترو سلولز سایز $0.2 \mu\text{m}$ انتقال داده شدند. نتایج حاصل از وسترن بلا Tin در تصویر ۵ آمده است.

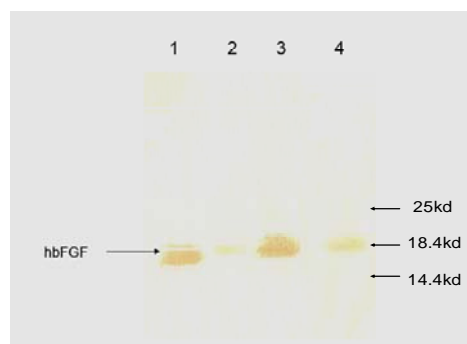
پلاسمید pGro7، چاپرون های GroEL و GroES را تحت کنترل پرموتور araB بیان می کند و این پلاسمید به منظور بررسی تاثیر بیان همزمان این چاپرون ها با فاکتور رشد فیبروبلاستی استفاده شد. همان طور که در تصویر ۴ مشاهده می شود، تولید پروتئین های hbFGF محلول در سلول هایی که دارای پلاسمیدهای pGro7 و pET-1008 هستند، نسبت به سلول هایی که فقط پلاسمید pET-1008 را دارند، به میزان کمی بالا رفته است. میزان Total proteins نیز تا حدودی افزایش یافته است که در نهایت تغییر قابل ملاحظه ای را در میزان پروتئین های محلول نشان نمی دهد.



تصویر ۴- الکتروفورز یک بعدی ۱۸٪ SDS-PAGE سلول Origami BDE3 حاوی پلاسمیدهای pGro7 و pET-1008 In: پروتئین های نامحلول عصاره سلولی؛ S:

مقایسه میزان پروتئین‌های hbFGF محلول، نامحلول و تام با استفاده از الایزا

با استفاده از آزمایش الایزا که دارای حساسیت sensivity بسیار بالاتری نسبت به آزمون‌های SDS-PAGE و وسترن بلاستینگ است، نتایج دقیق‌تری به دست آمد. در ابتدا با استفاده از ارقام به دست آمده از سنجش OD₄₅₀ نمونه استاندارد hbFGF در غلظت‌های مختلف، یک منحنی استاندارد ترسیم گردید. سپس با قرار دادن O.D₄₅₀ حاصل از هر یک از ساختارها در منحنی استاندارد، عددی به دست آمد که با ضرب کردن آن در مخرج کسر رقت هر نمونه، مقدار پروتئین برای هر یک مشخص شد. نتایج حاصل از آزمون الایزا در جدول ۱ آمده است.



تصویر ۵- آنالیز وسترن بلاستینگ. ستون ۱: سلول Origami BDE3 حاوی پلاسمید pET-1008. ستون ۲: سلول Origami BDE3 حاوی pGro7. ستون ۳: سلول Origami BDE3 حاوی pG-KJE8. ستون ۴: سلول OrigamiBDE3 حاوی پلاسمیدهای pET-1008 و pG-KJE8.

جدول ۱- نتایج حاصل از آزمون الایزا

Expression system Soluble Fraction/ Insoluble /Total	Dilution rate	OD 450 nm	Volume mg/l culture
OrigamiBDE3 / pET-1008	1/10000000	0.731	250
Insoluble			
OrigamiBDE3 / pET-1008/ Soluble	1/1000000	0.663	22.4
OrigamiBDE3 / pET-1008,pG-KJE8	1/10000000	0.711	240
Insoluble			
OrigamiBDE3 / pET-1008,pGro7/ Insoluble	1/10000000	0.765	271
OrigamiBDE3 / pET-1008, pGro7	1/1000000	0.799	27.9
Soluble			
OrigamiBDE3 / pET-1008	1/10000000	0.761	266
Total			
OrigamiBDE3 / pET-1008, pGro7	1/10000000	0.773	271
Total			
OrigamiBDE3 / pET-1008,pG-KJE8	1/10000000	0.711	240
Total			
OrigamiBDE3 / pET-1008 negative control	1/10000	0.00	0.00

باعث فولдинگ پروتئین هدف و افزایش میزان حلالیت شده است.

نتایج حاصل از الایزا نیز با حضور پلاسمید pGro7 نشان می‌دهد که میزان بیان پروتئین‌های Total محلول، 27.9 mg/L شده است و میزان protein به 271 mg/L رسیده است. به دلیل افزایش میزان کل پروتئین، به طور کلی افزایش کمتری با حضور این پلاسمید در میزان حلالیت پروتئین‌ها به دست آمده است. بنابراین، ترکیب چاپرون‌های GroEL / GroES ، کمتر از ترکیب

نتایج حاصل از الایزا نشان می‌دهد که میزان بیان پروتئین‌های محلول در- OrigamiBDE3 / pET-1008 بدون حضور پلاسمید چاپرونی، 22.4 mg/L است که با حضور پلاسمید pG-KJE8 به 30.7mg/L رسیده است. میزان protein بدون پلاسمیدهای چاپرونی، 266 mg/L است، در حالیکه با حضور پلاسمید pG-KJE8 به 240 mg/L کاهش یافته است. بنابراین، ترکیب چاپرون‌های GroEL / GroES / Dnak / Dnaj

کيلو دالتون، پروتئين تنظيم کننده اكسيرن انساني ORP150 با وزن مولکولي ۱۵۰ کيلو دالتون و ليزوسيم انساني با وزن مولکولي ۱۴ کيلو دالتون انجام Dnak / / GroEL/ GroES شد، چاپرون هاي TF / GrpE /Dnaj بر روی پروتئين هاي هدف مطالعه قرار گرفت و معلوم شد، زمانی که اين پروتئين ها به تنهائي بيان می شوند، بيشتر شكل توليد شده آن ها به صورت نامحلول است ولی با بيان زياد اين چاپرون ها به تنهائي يا با يكديگر، ميزان پروتئين هاي نوترکيب محلول افزایش می يابد (۱۹). تحقیقاتي در سال ۲۰۰۷ بر روی بيان همزمان چاپرون ها با پروتئين نوترکيب hbFGF انجام شد که نشان داد هیچ کدام از دو سیستم چاپروني جلوگيري از تشکيل انکلوزن بادی ها نیستند. اما هر دو سیستم با هم، می توانند باعث حل شدن انکلوزن بادی ها شوند (۲۰).

در طرح حاضر، اثر دو ترکيب مختلف از چاپرون ها در افزایش ميزان پروتئين hbFGF محلول، مورد بررسی و مقایسه قرار گرفت. نتایج به دست آمده از این تحقیق نشان می دهد ترکيب چاپرون هاي GroEL / GroES / Dnak / GrpE / که در پلاسمید pG-KJE8 بيان می شوند، ميزان پروتئين هاي نوترکيب محلول را افزایش می دهد. در حالی که بيان ترکيب چاپرون هاي GroEL/GroES در پلاسمید pGro7 نتوانست پروتئين هاي نوترکيب محلول را به ميزان قابل توجهی افزایش دهد. بيان همزمان چاپرون هاي ديگر مانند Trigger Factor و ترکيب Dnakj اين چاپرون با دو سیستم چاپروني / GroELS و GrpE جهت افزایش پروتئين نو ترکيب hbFGF محلول نيز پیشنهاد می شود. نتایج به دست آمده نشان دهنده اين است که بيان همزمان ترکيب چاپرون هاي GrpE و Dnakj/GroEL و GroELS با فاكتور رشد فيبروبلاستي، بيشتر از سیستم GroEL بدون همراهی Dnakj/GrpE قادر به افزایش ميزان پروتئين هاي نوترکيب hbFGF محلول است.

چاپرون هاي GroEL / GroES / Dnak / Dnaj / GrpE /، باعث فولدينج پروتئين هدف و افزایش ميزان حلاليت شده است.

بحث

امروزه از hbFGF در درمان زخم ها، آسيبهای مغز استخوان، بيماري هاي پوستي مثل اسکلرودrama، زخم هاي معده، ايسكمي مغزي، پيوند رگ و بازسازی عدسی چشم استفاده می شود (۱۴).

در مطالعه قبلی ميرزاحسيني (۵)، برای افزایش بيان hbFGF، اقدام به کاهش درصد نوكلنوتيد هاي GC در ناحيه N ترمinal cDNA ژن اين فاكتور رشد گردید و سیستم بيانی مناسبی برای اين فاكتور ايجاد شد که به مقدار قابل توجهی پروتئين نوترکيب hbFGF را توليد می کرد، ولی مقدار زیادی از پروتئين هاي نوترکيب توليد شده به صورت نامحلول و در انکلوزن بادی ها موجود بودند (۱۵). هدف ما در اين پژوهه آن بود که با بيان همزمان چاپرون ها با فاكتور رشد فيبروبلاستي hbFGF اين پروتئين را بيشتر به شكل محلول يا فعال از نظر بيولوريکي توليد نماییم.

بررسی ميزان تاثير پروتئين هاي شوك حرارتی خانواده هاي sHSP، hsp60 و hsp70 که نقش فعالی در تحمل شرایط استرسی مثل شوك حرارتی و توليد زياد پروتئين هاي خارجي دارند، بر روی اشكال محلول و نامحلول پروتئين هاي نوترکيب، قبل توجه بسياري از محققين بوده و هست. استفاده از روش بيان همزمان Co-expression چاپرونها به منظور تسهيل روند فولدينج صحيح پروتئين هاي نوترکيب، با وجود کارايی خوب، هنوز در مرحله آزمون و خطأ trial & error قرار دارد (۱۶)، به طوری که حتی ممکن است انتخاب چاپرون نامناسب، اثرات منفي شدیدی بر پایداری محصول و نيز ادامه حيات سلول ميزبان داشته باشد (۱۷). در سال ۱۹۹۸، GroEL-ES و DnaK را با پروتئين Cryj2 به طور همزمان بيان کردند و متوجه پایداری مشخص Cryj2 و کاهش تجمع انکلوزن بادی ها شدند (۱۸).

در سال ۱۹۹۹ طی تحقیقاتي که بر روی پروتئين هاي اندوستاتين موش با وزن مولکولي ۲۰

منابع مورد استفاده

1. Abe, K., Saito, H., 2001. Effects of basic fibroblast growth factor on central nervous system functions. *Pharmacological Research* 43, 4: 307-312.
2. Faktorovich, E. G., 1990. Photoreceptor degeneration in inherited retinal dystrophy delayed by basic fibroblast growth factor. *Nature* 347: 83-86.
3. Knoerzer, W., 1989. Expression of synthetic genes encoding bovine and human basic fibroblast growth factors bFGFs in *Escherichia coli*. *Gene* 75: 21-30.
4. Anspach, F., 1995. Purification of recombinant human basic fibroblast growth factor: stability of selective sorbents under cleaning in place conditions. *J Chromatography A* 71: 129-139.
5. Mirzahoseini, H., Mehraeian, F., Mozafari, F., 2001. A comparative study between expression of a synthetic gene of human fibroblast growth factor and its related cDNA in *Escherichia coli*. *J Sci R Iran* 12: 301-305.
6. Betiku, E., 2006. Molecular chaperones involved in Heterologous protein folding in *Escherichia coli*. *Biotechnology Review* 12: 66 – 75.
7. Wickner, S., Maurizi, M. R., Gottesman, S., 1999. Posttranslational quality control: folding, refolding, and degrading proteins. *Science* 286: 1888-1893.
8. Morimoto, R., Gabriella, S. M., 1998. Stress-inducible response and heat shock proteins: New pharmacologic targets for cytoprotection. *Nature Biotechnology* 16: 833-838.
9. Yang, X. M., Xu, L., Eppstein, L., 1992. Production of recombinant human interferon- α by *Escherichia coli* using a computer controlled cultivation process. *J Biotechnol* 23: 291-301.
10. Bukau, B., Horwich, A., 1998. The Hsp70 and Hsp60 chaperone machines. *Cell* 92: 351-366.
11. Sambrook, H., Russell, F., 2001. Molecular cloning laboratory manual. Oxford, USA, 116-118.
12. Roitt, I. M., Delves, J. D., Martin, S. J., Burton, D. R., 2003. Essential Immunology. Black well publishing, UK, 140-157.
13. Towbin, H., 1979. Electrophoretic transfer of proteins from polyacrylamide gels to nitrocellulose sheets: Procedure and some application. *Proc Natl Acad Sci* 76: 43-50.
14. Yamanaka, K., Inaba, T., Nomura, E., Hurwitz, D., Jones, D. A., Hakamada, A., Isoda, K., Kupper, T. S., Mizutani, H., 2005. Basic fibroblast growth factor treatment for skin ulcerations in scleroderma. *Cutis* 76: 373-376.
15. Mirzahoseini, H., Mafakheri, S., Alibolandi, M., Khalil, M., Mohammadi, N., Omidinia, E., 2008. Optimizing heterologous expression in *Escherichia coli*: Importance of 5' codons in translation. Submitted.
16. Hoffmann, F., Rinas, U., 2004. Roles of heat-shock chaperones in the production of recombinant proteins in *Escherichia coli*. *Advances in Biochem Eng Biotechnol* 89: 143-161.
17. Dong, H., Nilsson, L., Kurland, C. G., 1995. Gratuitous overexpression of genes in *Escherichia coli* leads to growth inhibition and ribosome destruction. *J Bacteriol* 177: 1497-1504.
18. Nishihara, K., Kanemori, M., Kitagawa, M., Yanagi, H., Yura, T., 1998. Chaperone co expression plasmids: differential and synergistic roles of DnaK-DnaJ-GrpE and GroEL-GroES in assisting folding of an allergen of Japanese cedar pollen, Cryj2, in *Escherichia coli*. *Appl Environ Microbiol* 64: 1694-1699.
19. Nishihara, K., Kanemori, M., Yanagi, H., Yura, T., 1999. Overexpression of trigger factor prevents aggregation of Recombinant proteins in *Escherichia coli*. *American Society for Microbiology* 66: 884-889.
20. Rinas, U., Hoffmann, F., Betiku, E., Estape, D., Marten, S., 2007. Inclusion body anatomy and Functioning of chaperone-mediated in vivo inclusion body disassembly during high-level recombinant protein production in *Escherichia coli*. *Jurnal of Biotechnology* 127(2): 244- 257.